

УДК 538.245

© 1992

## ВЛИЯНИЕ КОСВЕННЫХ И ПРЯМЫХ ОБМЕННЫХ ВЗАИМОДЕЙСТВИЙ НА МАГНИТНУЮ СТРУКТУРУ ФЕРРИТОВ $\text{CuFe}_2\text{O}_4$ И $\text{CuFeCrO}_4$

Л. Г. Антошина, А. Н. Горяга

Установлено, что при 80 К тетрагонально-искаженный феррит  $\text{CuFe}_2\text{O}_4$  имеет неколлинеарную магнитную структуру, а кубический феррит-хромит  $\text{CuFeCrO}_4$  — коллинеарную. Анализ обменных взаимодействий показал, что у феррита  $\text{CuFe}_2\text{O}_4$  за возникновение неколлинеарной магнитной структуры являются ответственными анизотропные косвенные отрицательные ВВ-взаимодействия  $\text{Fe}_B^{3+}-\text{O}^{2-}-\text{Fe}_B^{3+}$  и  $\text{Cu}_B^{2+}-\text{O}^{2-}-\text{Fe}_B^{3+}$ , тогда как роль прямого отрицательного обмена  $\text{Fe}_B^{3+}-\text{Fe}_B^{3+}$  незначительна.

Несмотря на то что феррит  $\text{CuFe}_2\text{O}_4$  давно исследуется, однако нет полной ясности о его магнитной структуре в низких температурах. Во многих работах [1] экспериментально установлено, что у данного феррита магнитный момент  $\mu_B$  лежит в пределах  $(1.3-1.7) \mu_B$ , а его магнитная структура является коллинеарной. На основании этого авторы работы [2] пришли к выводу, что у данного феррита катионное распределение имеет вид  $\text{Cu}_{0.1}\text{Fe}_{0.9}[\text{Cu}_{0.9}\text{Fe}_{1.1}]\text{O}_4$ , а не  $\text{Fe}[\text{CuFe}]\text{O}_4$ , которое следует из энергии предпочтения катионов  $\text{Cu}^{2+}$  к октаэдрическим местам [3].

Однако, ранее исследуя медный феррит с тетрагонально-искаженной структурой шпинели ( $c/a > 1$ ), мы обнаружили [4], что при температуре жидкого азота на изотермах  $\sigma(H)$ ,  $\lambda_1(H)$  и  $\lambda_\perp(H)$ , снятых в полях до 10 кЭ, отсутствует насыщение. Это не было связано с преодолением сил магнитной анизотропии, так как его коэрцитивная сила  $H_c$  при этой температуре составляла  $\sim 100$  Э. На основании этого мы пришли к выводу, что магнитная структура медного феррита при низких температурах носит неколлинеарный характер. Было высказано предположение, что причиной неколлинеарности является анизотропное косвенное отрицательное обменное ВВ-взаимодействие  $\text{Cu}_B^{2+}-\text{O}^{2-}-\text{Fe}_B^{3+}$ . К сожалению, в данной работе не рассматривалась роль как косвенного, так и прямого отрицательного взаимодействия между октаэдрическими ионами  $\text{Fe}_B^{3+}$ . В то же время известно, что в ферритах-шпинелях внутриподрешеточные ВВ-взаимодействия могут конкурировать с отрицательными межподрешеточными АВ-взаимодействиями, в результате чего их магнитная структура становится неколлинеарной.

В данной работе была поставлена задача выяснить роль косвенного  $\text{Fe}_B^{3+}-\text{O}^{2-}-\text{Fe}_B^{3+}$  и прямого  $\text{Fe}_B^{3+}-\text{Fe}_B^{3+}$  обменных взаимодействий в формировании магнитной структуры медных ферритов. С этой целью наряду с ферритом  $\text{CuFe}_2\text{O}_4$  впервые был исследован феррит-хромит  $\text{CuFeCrO}_4$ , в котором существенно понижена концентрация октаэдрических ионов  $\text{Fe}_B^{3+}$ . Согласно [2], этот феррит имеет следующее катионное распределение  $\text{Cu}_{0.4}\text{Fe}_{0.6}[\text{Cu}_{0.6}\text{Fe}_{0.4}\text{Cr}_{1.0}]\text{O}_4$ . Видно, что у данного феррита почти в 3 раза меньше октаэдрических ионов  $\text{Fe}_B^{3+}$ , чем у медного феррита. Для решения поставленной задачи необходимо было при-

температуре жидкого азота на данных образцах провести комплексное исследование ряда их физических свойств: намагниченности  $\sigma$ , коэрцитивной силы  $H_c$ , магнитострикций  $\lambda_{\parallel}$ ,  $\lambda_{\perp}$  и магнитосопротивлений  $(\Delta R/R)_{\parallel}$ ,  $(\Delta R/R)_{\perp}$ .

По керамической технологии были приготовлены образцы  $\text{CuFe}_2\text{O}_4$  и  $\text{CuFeCrO}_4$ . Первый отжиг проводился при температуре 750 °C в течение 20 ч, второй — при температуре 900 °C также в течение 20 ч. Оба отжига проводились на воздухе с последующим медленным охлаждением. Проведенный при комнатной температуре рентгенофазный анализ показал, что образцы являются однофазными, причем феррит  $\text{CuFe}_2\text{O}_4$  имел искаженную структуру шпинели с отношением тетрагональных осей  $c/a = 1.06$ , тогда как образец  $\text{CuFeCrO}_4$  был кубическим.

Исследование удельной намагниченности проводилось баллистическим методом, магнитострикция изучалась с помощью тензодатчиков, а для измерений магнитострикции был использован мостовой метод, имеющий более высокую чувствительность по сравнению с потенциометрическим. Контакты на образцы были сделаны из индий-галлиевой пасты. Магнитные поля до 10 кЭ создавались электромагнитом.

К сожалению, для феррита  $\text{CuFe}_2\text{O}_4$  мы смогли снять изотермы  $(\Delta R/R)_{\parallel}$  и  $(\Delta R/R)_{\perp}$  только начиная со 130 K, так как при более низких температурах данный образец обладал очень высоким электросопротивлением  $R$ . На рис. 1 приведены результаты исследований, из которых видно, что на всех изотермах  $\sigma(H)$ ,  $\lambda_{\parallel}(H)$ ,  $\lambda_{\perp}(H)$ ,  $(\Delta R/R)_{\parallel}(H)$  и  $(\Delta R/R)_{\perp}(H)$  отсутствует насыщение. В сильных полях как магнитострикции  $\lambda_{\parallel}$  и  $\lambda_{\perp}$ , так и магнитосопротивления  $(\Delta R/R)_{\parallel}$  и  $(\Delta R/R)_{\perp}$  носят изотропный характер. Поскольку коэрцитивная сила  $H_c$  данного образца при температуре 85 K была  $\leq 110$  Э, то можно сделать вывод, что наблюдаемый парапроцесс свидетельствует о наличии неколлинеарной структуры.

Если по поведению в сильных полях намагниченности  $\sigma$  и магнитострикций  $\lambda_{\parallel}$  и  $\lambda_{\perp}$  можно судить лишь о характере магнитной структуры в феррите, то по виду изотерм  $(\Delta R/R)_{\parallel}(H)$  и  $(\Delta R/R)_{\perp}(H)$  можно установить, в какой из подрешеток феррита имеет место магнитная неколлинеарность. В случае, когда продольное и поперечное магнитосопротивления в сильных полях отрицательного знака, неколлинеарная магнитная структура будет в подрешетке, ответственной за суммарный магнитный момент феррита. Так как у медного феррита ответственной за магнитный момент является октаэдрическая подрешетка, то, исходя из поведения  $(\Delta R/R)_{\parallel}(H)$  и  $(\Delta R/R)_{\perp}(H)$  (рис. 1), можно с уверенностью сказать, что у этого образца неколлинеарная магнитная структура существует в В-подрешетке.

На рис. 2 приведены результаты измерений для феррита-хромита  $\text{CuFeCrO}_4$ . Видно, что результаты по магнитострикции и магнитосопротивлению сильно отличаются от результатов для феррита  $\text{CuFe}_2\text{O}_4$ . Если на изотерме  $\sigma(H)$  также отсутствует насыщение, то на изотермах  $\lambda_{\parallel}(H)$  и  $\lambda_{\perp}(H)$  оно наблюдается, причем почти выполняется правило четных эффектов  $\lambda_{\perp} = (-1/2)\lambda_{\parallel}$ . Что касается магнитосопротивлений  $(\Delta R/R)_{\parallel}(H)$  и  $(\Delta R/R)_{\perp}(H)$ , то как в слабых, так и в сильных полях их знак только отрицательный. При этом величина  $|(\Delta R/R)_{\perp}|$  в сильных полях значительно больше по сравнению с  $|(\Delta R/R)_{\parallel}|$  медного феррита. Мы считаем, что отсутствие магнитострикции парапроцесса свидетельствует о том, что при данной температуре магнитная структура феррита  $\text{CuFeCrO}_4$  является коллинеарной.

Представляло интерес выяснить, чем вызван наблюденный парапроцесс на изотермах  $\sigma(H)$ ,  $(\Delta R/R)_{\parallel}(H)$  и  $(\Delta R/R)_{\perp}(H)$  феррита-хромита  $\text{CuFeCrO}_4$ .

В ферритах со структурой шпинели в октаэдрических узлах наряду с косвенным обменным взаимодействием может иметь место прямое катион-катионное взаимодействие, обусловленное непосредственным перекрытием  $t_{2g}$ -орбиталей соседних  $3d$ -катионов. Такое перекрытие приводит не только к резкому увеличению электросопротивления в результате локализации большей части  $t_{2g}$ -электронов

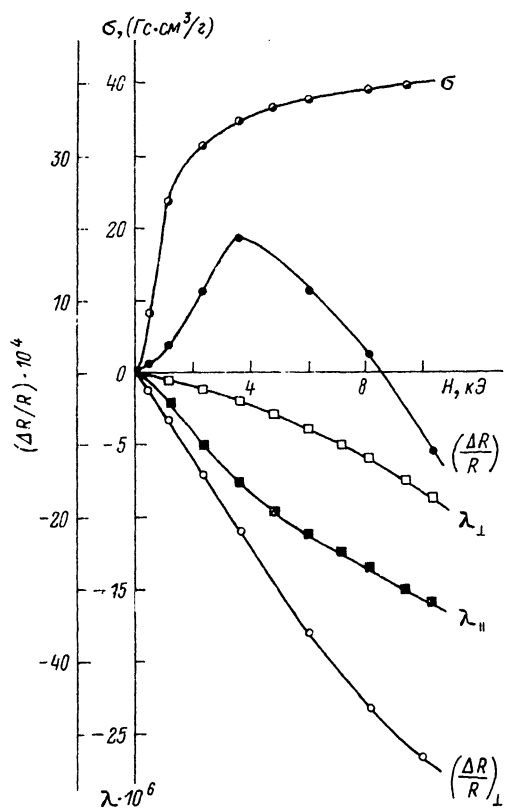


Рис. 1. Изотермы намагниченности  $\sigma$ , магнитострикций  $\lambda_{\parallel}$  и  $\lambda_{\perp}$ , снятые при  $T = 90$  К, а также магнитосопротивлений  $(\Delta R/R)_{\parallel}$  и  $(\Delta R/R)_{\perp}$ , снятые при  $T = 130$  К, для тетрагонально-искаженного феррита  $\text{CuFe}_2\text{O}_4$ .

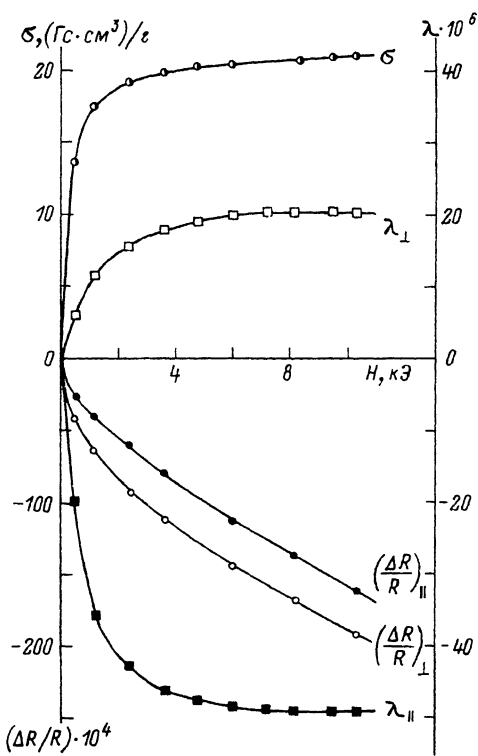


Рис. 2. Изотермы намагниченности  $\sigma$ , магнитострикций  $\lambda_{\parallel}$ ,  $\lambda_{\perp}$  и магнитосопротивлений  $(\Delta R/R)_{\parallel}$  и  $(\Delta R/R)_{\perp}$ , снятые при  $T = 80$  К, для феррита-хромита  $\text{CuFeCrO}_4$ .

в ковалентных связях катион—катион, но и к уменьшению магнитных моментов  $3d$ -катионов вследствие спаривания спинов электронов на перекрывающихся орбиталах.

Впервые в работе [5] при исследовании в районе температуры жидкого азота ферритов  $\text{MnFe}_2\text{O}_4$  и  $\text{Fe}_3\text{O}_4$  было обнаружено, что в сильных магнитных полях имеет место значительный парапроцесс, который сопровождается аномально большим отрицательным магнитосопротивлением  $(\Delta R/R)_{\parallel}$  и  $(\Delta R/R)_{\perp}$ , тогда как магнитострикции парапроцесса отсутствуют. Авторы считают, что у данных ферритов рост истинного намагничивания под действием внешнего поля (парапроцесс) происходит в результате нарушения спаривания спинов у  $t_{2g}$ -электронов, связанных в ковалентных парах  $\text{Fe}_B^{3+}-\text{Fe}_B^{3+}$  и  $\text{Mn}_B^{3+}-\text{Mn}_B^{3+}$ , в то время как аномально большое отрицательное магнитосопротивление обусловлено делокализацией  $t_{2g}$ -электронов в этих ковалентных парах.

Как видно из рис. 2, аналогичное поведение магнитных и электрических свойств имеет место у феррита-хромита  $\text{CuFeCrO}_4$ . На основании этого мы считаем, что у данного феррита-хромита существенную роль в формировании магнитных свойств при низких температурах играет в основном отрицательный прямой обмен  $\text{Cr}_B^{3+}-\text{Cr}_B^{3+}$  и в меньшей степени прямой отрицательный обмен  $\text{Fe}_B^{3+}-\text{Fe}_B^{3+}$ , так как количество ионов  $\text{Fe}_B^{3+}$  значительно меньше, чем ионов  $\text{Cr}_B^{3+}$ . По-видимому, эти прямые отрицательные обменные взаимодействия слабее,

чес косвенные межподрешеточные АВ-взаимодействия. Поэтому у феррита-хромита  $\text{CuFeCrO}_4$  магнитная структура при низких температурах является коллинеарной. Тем не менее экспериментальное значение магнитного момента  $n_0$  эксп. данного образца должно быть меньше его теоретического  $n_0$  теор., так как спаривание спинов на перекрывающихся  $t_{2g}$ -орбиталах должно приводить к уменьшению магнитных моментов октаэдрических  $3d$ -катионов  $\text{Cr}^{3+}$  и  $\text{Fe}^{3+}$ . Зная катионное распределение феррита-хромита и учитывая тот факт, что входящие в его состав  $3d$ -катионы имеют только спиновый магнитный момент, мы нашли, что значение  $n_0$  теор. составляет 2.2  $\mu_B$ , тогда как из наших результатов значение  $n_0$  эксп.  $\approx 0.9 \mu_B$ , т. е. более чем в два раза меньше по сравнению с  $n_0$  теор.

Поэтому на основании результатов, полученных для феррита-хромита  $\text{CuFeCrO}_4$ , можно сделать вывод, что в тетрагонально-искаженном феррите  $\text{CuFe}_2\text{O}_4$  отрицательное ВВ-взаимодействие между октаэдрическими ионами  $\text{Fe}_B^{3+}$  играет существенную роль в формировании его магнитной структуры при низких температурах.

Не исключено, что в низких температурах прямой обмен  $\text{Fe}_B^{3+}-\text{Fe}_B^{3+}$  также оказывает некоторое влияние на магнитные свойства медного феррита, но роль его значительно меньше, чем анизотропных косвенных отрицательных обменных взаимодействий  $\text{Fe}_B^{3+}-\text{O}^{2-}-\text{Fe}_B^{3+}$  и  $\text{Cu}_B^{2+}-\text{O}^{2-}-\text{Fe}_B^{3+}$ , под действием которых его магнитная структура становится неколлинеарной. Из наших результатов было найдено, что у данного феррита значение  $n_0$  эксп. = 1.5  $\mu_B$ . Однако проверить, насколько это значение отличается от  $n_0$  теор., мы не смогли, так как по катионному распределению можно рассчитать  $n_0$  теор. только для ферритов с коллинеарной магнитной структурой.

#### Список литературы

- [1] Крупичка С. Физика ферритов и родственных им магнитных окислов. М., 1976. Т. I. 353 с.
- [2] Ohnishi H., Teranishi T. // J. Phys. Soc. Japan. 1961. V. 16. P. 35—43.
- [3] Miller A. // J. Appl. Phys. 1959. V. 30. Suppl. 24 S.
- [4] Белов К. П., Горяга А. Н., Антошина Л. Г. // ФТГ. 1973. Т. 15. № 10. С. 2895—2898.
- [5] Белов К. П., Горяга А. Н., Пронин В. Н., Скипетрова Л. А. // Письма в ЖЭТФ. 1983. Т. 37. № 8. С. 392—395.

Московский государственный университет  
им. М. В. Ломоносова

Поступило в Редакцию  
28 мая 1992 г.